



Laboratorium EMVO Sp. ~~z o.o. ul. Jasna 1, Warszawa~~

ul. Jasna 1  
00-013 Warszawa

tel. +48 22 780 29 64

e-mail: laboratorium@emvo.pl



AB 1630

## Sprawozdanie z pomiarów pól elektromagnetycznych - środowisko ogólne nr 15/12/OŚ/2020 - P4



Nr i nazwa stacji	OLC0701	
Adres	Babki Gąseckie 17, dz. nr 58/1, woj. warmińsko-mazurskie	
Opracowanie	<del>.....</del>	Specjalista ds. pomiarów
Autoryzacja	<del>.....</del>	Kierownik Laboratorium
Podpis	Podpis jest prawidłowy Dokument podpisany przez <del>.....</del> Data: 2020.12.09 17:41:40 Powód: Zatwierdzam dokument	
Data	2020-12-09	

## Spis treści

1. Informacje ogólne.....	3
2. Podstawa prawna. ....	3
3. Opis pomiarów.....	3
4. Zróżnicowanie dopuszczalne poziomy pól elektromagnetycznych. ....	5
5. Charakterystyka źródeł PEM.....	5
6. Wyniki pomiarów.....	5
7. Stwierdzenie zgodności .....	7
8. Oświadczenie.....	8
9. Spis załączników. ....	8

## 1. Informacje ogólne.

Zleceniodawca	P4 sp. z o.o., ul. Wynałazek 1, 02-677 Warszawa osoba udzielająca informacji – ██████████
Istotne informacje dostarczone przez klienta	komplet informacji niezbędnych do wykonania pomiarów i opracowania sprawozdania
Dane otrzymane od klienta mogące mieć wpływ na ważność wyników	Dane anten sektorowych, dane anten radioliniowych, parametry pracy instalacji, poprawka pomiarowa, ustawienie pochylenia anten
Prowadzący instalację	P4 sp. z o.o., ul. Wynałazek 1, 02-677 Warszawa
Lokalizacja obiektu	Babki Gąseckie 17, dz. nr 58/1, woj. warmińsko-mazurskie
Miejsce instalacji anten	stalowa wieża kratowa
Miejsce instalacji urządzeń	outdoor
Osoby wykonujące pomiar	██████████ Wpisz tekst tutaj
Data wykonania pomiaru	2020-12-09
Temperatura na początku pomiaru [°C]	1
Temperatura na koniec pomiaru [°C]	1
Warunki atmosferyczne	Brak opadów.
Wilgotność na początku pomiaru [%]	52
Wilgotność na koniec pomiaru [%]	53
Inne źródła pól elektromagnetycznych oznaczone na załączniku graficznym	brak
Parametry pracy instalacji	eksploatacyjne

## 2. Podstawa prawna.

### 2.1 Normy i rozporządzenia:

- Rozporządzeniem Ministra Klimatu z dnia 17 lutego 2020 r. w sprawie sposobów sprawdzania dotrzymania dopuszczalnych poziomów pól elektromagnetycznych w środowisku (Dz.U. 2020 poz. 258)
- Rozporządzenie Ministra Zdrowia z dnia 17 grudnia 2019 r. w sprawie dopuszczalnych poziomów pól elektromagnetycznych w środowisku (Dz.U. 2019 poz. 2448)
- Obwieszczenie Marszałka Sejmu Rzeczypospolitej Polskiej z dnia 19 lipca 2019 r. w sprawie ogłoszenia jednolitego tekstu ustawy - Prawo ochrony środowiska (Dz.U. 2019 poz. 1396).

## 3. Opis pomiarów.

Metodologia pomiarowa	Pomiary w oparciu o Rozporządzeniem Ministra Klimatu z dnia 17 lutego 2020 r. w sprawie sposobów sprawdzania dotrzymania dopuszczalnych poziomów pól elektromagnetycznych w środowisku (Dz.U. 2020 poz. 258).
Cel badań	Określenie wartości natężenia pola elektrycznego w miejscach dostępnych dla ludności.
Opis zestawu pomiarowego	Miernik Narda NBM 550, Sonda EF 9091, o zakresie pomiarowym 0,8 V/m - 300 V/m pracująca w paśmie 0,1 – 90 GHz, świadectwo wydane przez Laboratorium Wzorców i Metrologii Pola Elektromagnetycznego, Instytut Telekomunikacji,

	<p>Teleinformatyki i Akustyki Politechniki Wrocławskiej. Świadectwo ważne do 01.06.2022r.</p> <p>Miernik Narda NBM 550, Sonda EF 9091 pracuje w zakresie temperatury -10°C - +50°C oraz wilgotności 5% - 95%</p> <p>Niepewność rozszerzona wynosi 58,8% przy poziomie ufności 95% z uwzględnieniem współczynnika rozszerzenia k=2.</p>
Wyposażenie pomocnicze	<p>Termohigrometr Bestone, typ: GM1362-EN-00, nr identyfikacyjny 1222436, świadectwo wzorcowania z dn. 22.12.2015 r. wydane przez Laboratorium Pomiarowe "MUTECH".</p> <p>Przymiar wstępowy STABILA, nr identyfikacyjny 5/WL/2016, świadectwo wzorcowania z dn. 06.09.2016 r. wydane przez Zespół Laboratoriów wzorcujących Okręgowego Urzędu Miar w Gdańsku.</p> <p>GPS Garmin 64s okresowo sprawdzany w punktach osnowy geodezyjnej klasy 3 na podstawie licencji punktu, zgodnie z procedurą sprawdzeń okresowych IS/PO-16-11/03.</p>
Pomiary zostały wykonane	<ol style="list-style-type: none"> <li>1. na głównych i pomocniczych kierunkach pomiarowych, na kierunkach zbliżonych do azymutów anten oraz w dodatkowych pionach pomiarowych zgodnie z wymaganiami pkt 12, 13, 14 i 19 załącznika do rozporządzenia Ministra Klimatu z dnia 17 lutego 2020 r. (Dz. U. 2020, poz. 258),</li> <li>2. na obszarze pomiarowym, dla którego, na podstawie uprzednio wykonanych obliczeń uzyskanych od zleceniodawcy, stwierdzono możliwość występowania pól elektromagnetycznych o poziomach zbliżonych do poziomów dopuszczalnych zgodnie z wymaganiami pkt 5 ppkt 2 oraz pkt 13 ppkt 1 załącznika do rozporządzenia Ministra Klimatu z dnia 17 lutego 2020 r. (Dz. U. 2020, poz. 258). Wyniki obliczeń nie uwzględniały parametrów pracy instalacji innych operatorów występujących na obiekcie bądź w obszarze pomiarowym.</li> <li>3. w miejscach dostępnych dla ludności.</li> <li>4. miejsca niedostępne podczas wykonywania pomiarów wskazane zostały w pkt 6 (tabeli wyniki pomiarów)</li> <li>5. wyniki pomiarów uzyskane zostały przy uwzględnieniu poprawek pomiarowych przekazanych przez zleceniodawcę oraz przy rzeczywistych warunkach pracy instalacji innych operatorów (w przypadku występowania). W takiej sytuacji uwzględniono jednolitą poprawkę pomiarową wynoszącą 1,70</li> </ol>
Szczególne warunki podczas wykonywania pomiarów	<p>Pomiary wykonane zostały podczas obowiązywania w kraju stanu epidemii, zgodnie z art. 122a ust. 1b Ustawy z dnia 27 kwietnia 2001 r. – Prawo ochrony środowiska (Dz. U. z 2019 r. poz. 1396, z późn. zm.9))</p>
Warunki pracy urządzeń nadawczych	<p>Podczas pomiarów zostały uwzględnione poprawki pomiarowe przekazane przez zleceniodawcę, umożliwiające uwzględnienie maksymalnych parametrów pracy instalacji zgodnie z pkt 7 załącznika do Rozporządzeniem Ministra Klimatu z dnia 17 lutego 2020 r. w sprawie sposobów sprawdzania dotrzymania dopuszczalnych poziomów pól elektromagnetycznych w środowisku (Dz. U. 2020, poz. 258).</p>

#### 4. Zróznicowanie dopuszczalne poziomy pól elektromagnetycznych.

Zakresy znajdują się w Dzienniku Ustaw z dnia 17 grudnia 2019 r. przedstawione są w tabeli nr 2 (Dz. U. z 2019r. poz. 2448).

Parametr fizyczny	Składowa elektryczna E (V/m)	Składowa magnetyczna H (A/m)	Gęstość mocy S (W/m <sup>2</sup> )
Zakres Częstotliwości pola elektromagnetycznego			
od 400 MHz do 2000 MHz	$1,375 \times f^{0,5}$	$0,0037 \times f^{0,5}$	$f / 200$
od 2 GHz do 300 GHz	61	0,16	10

#### 5. Charakterystyka źródeł PEM.

Zgodnie z informacją otrzymaną od Klienta pomiary zostały wykonane przy ustawieniach pochylenia anten zgodnych z pkt. 13, ppkt 2 załącznika do rozporządzenia Ministra Klimatu z dnia 17 lutego 2020 roku.

Anteny sektorowe - dane otrzymane od klienta

Charakterystyka promieniowania		kierunkowa					
Rzeczywisty czas pracy [h/dobę]		24					
Rodzaj wytwarzanego pola		stacjonarne					
L p	Wyszczególnienie	sektor 1		sektor 2		sektor 3	
<b>I Nadajnik stacji bazowej:</b>							
1	Typ / Producent	DBS / Huawei					
2	Częstotliwość (pasmo) MHz	1800	900	1800	900	1800	900
3	Maksymalna moc nadawana na sektor [dBm]	50,79	46,02	50,79	46,02	50,79	46,02
<b>II Obciążenie:</b>							
1	Typ anteny	Huawei A264521R1	Huawei A704517R0	Huawei A264521R1	Huawei A704517R0	Huawei A264521R1	Huawei A704517R0
2	Producent anteny	Huawei	Huawei	Huawei	Huawei	Huawei	Huawei
3	Ilość anten	1	1	1	1	1	1
4	Azymut	0		120		240	
5	Zakres kątów pochylenia anten [°]	0,00-6,00	0,00-10,00	0,00-6,00	0,00-10,00	0,00-6,00	0,00-10,00
6	Średnie pochylenie (ustawione do pomiarów PEM) [°]	3,00	3,00	3,00	3,00	3,00	3,00
7	Wysokość zainst. n.p.t. [m]	53,20		53,20		53,20	
8	EIRP [W]	11722	2032	11722	2032	11722	2032

Anteny radioliniowe - dane otrzymane od klienta

Charakterystyka promieniowania		kierunkowa					
Rzeczywisty czas pracy [h/dobę]		24					
Rodzaj wytwarzanego pola		stacjonarne					
L p	Linia radiowa			Antena			
	typ/producent	częstotliwość pracy [GHz]	moc wyjściowa [dBm]	typ/producent	średnica anteny [m]	azymut [°]	wysokość zainstal. [m]
1	OPTIX RTN/HUAWEI	23	28	VHLPX2-23/Andrew	0,6	275	49,30
2	OPTIX RTN/HUAWEI	80/23	18/25	A23S80S06/Huawei	0,6	343	50,70

## 6. Wyniki pomiarów.

Wyniki pomiarów pól elektromagnetycznych dla celów ochrony środowiska przedstawia poniższa tabela. Piony pomiarowe zostały przedstawione w zał. 2.

Nr PP	Pole-E [V/m]	Pole-E*kE,+U [V/m]	Pole-H [A/m]	Pole-H*kE,+U [A/m]	Wys. pomiaru [m]	Opis pionu	Uwagi	WME	WMH
1	<0,8*	<2,16	<0,003	<0,006	0,3 - 2,0	N: 53° 54' 5,6" E: 22° 28' 20,8"	otoczenie stacji nadawczej - ok. 50 m od obiektu wzdłuż gł. osi promieniowania - GKP	<0,056	<0,055
2	<0,8*	<2,16	<0,003	<0,006	0,3 - 2,0	N: 53° 54' 7,3" E: 22° 28' 20,9"	otoczenie stacji nadawczej - ok. 100 m od obiektu wzdłuż gł. osi promieniowania - GKP	<0,056	<0,055
3	<0,8*	<2,16	<0,003	<0,006	0,3 - 2,0	N: 53° 54' 8,9" E: 22° 28' 21,1"	otoczenie stacji nadawczej - ok. 150 m od obiektu wzdłuż gł. osi promieniowania - GKP	<0,056	<0,055
4	<0,8*	<2,16	<0,003	<0,006	0,3 - 2,0	N: 53° 54' 10,5" E: 22° 28' 21,2"	otoczenie stacji nadawczej - ok. 200 m od obiektu wzdłuż gł. osi promieniowania - GKP	<0,056	<0,055
5	<0,8*	<2,16	<0,003	<0,006	0,3 - 2,0	N: 53° 54' 12,1" E: 22° 28' 21,3"	otoczenie stacji nadawczej - ok. 250 m od obiektu wzdłuż gł. osi promieniowania - GKP	<0,056	<0,055
6	<0,8*	<2,16	<0,003	<0,006	0,3 - 2,0	N: 53° 54' 13,7" E: 22° 28' 21,5"	otoczenie stacji nadawczej - ok. 300 m od obiektu wzdłuż gł. osi promieniowania - GKP	<0,056	<0,055
7	<0,8*	<2,16	<0,003	<0,006	0,3 - 2,0	N: 53° 54' 15,3" E: 22° 28' 21,6"	otoczenie stacji nadawczej - ok. 350 m od obiektu wzdłuż gł. osi promieniowania - GKP	<0,056	<0,055
8	<0,8*	<2,16	<0,003	<0,006	0,3 - 2,0	N: 53° 54' 16,9" E: 22° 28' 21,7"	otoczenie stacji nadawczej - ok. 400 m od obiektu wzdłuż gł. osi promieniowania - GKP	<0,056	<0,055
9	<0,8*	<2,16	<0,003	<0,006	0,3 - 2,0	N: 53° 54' 18,6" E: 22° 28' 21,9"	otoczenie stacji nadawczej - ok. 450 m od obiektu wzdłuż gł. osi promieniowania - GKP	<0,056	<0,055
10	<0,8*	<2,16	<0,003	<0,006	0,3 - 2,0	N: 53° 54' 20,2" E: 22° 28' 22"	otoczenie stacji nadawczej - ok. 500 m od obiektu wzdłuż gł. osi promieniowania - GKP	<0,056	<0,055
11	<0,8*	<2,16	<0,003	<0,006	0,3 - 2,0	N: 53° 54' 21,8" E: 22° 28' 22,1"	otoczenie stacji nadawczej - ok. 550 m od obiektu wzdłuż gł. osi promieniowania - GKP	<0,056	<0,055
12	<0,8*	<2,16	<0,003	<0,006	0,3 - 2,0	N: 53° 54' 3,1" E: 22° 28' 23"	otoczenie stacji nadawczej - ok. 50 m od obiektu wzdłuż gł. osi promieniowania - GKP	<0,056	<0,055
13	<0,8*	<2,16	<0,003	<0,006	0,3 - 2,0	N: 53° 54' 2,3" E: 22° 28' 25,3"	otoczenie stacji nadawczej - ok. 100 m od obiektu wzdłuż gł. osi promieniowania - GKP	<0,056	<0,055
14	<0,8*	<2,16	<0,003	<0,006	0,3 - 2,0	N: 53° 54' 1,4" E: 22° 28' 27,6"	otoczenie stacji nadawczej - ok. 150 m od obiektu wzdłuż gł. osi promieniowania - GKP	<0,056	<0,055
15	<0,8*	<2,16	<0,003	<0,006	0,3 - 2,0	N: 53° 54' 1,1" E: 22° 28' 30,3"	otoczenie stacji nadawczej - ok. 200 m od obiektu wzdłuż gł. osi promieniowania - GKP	<0,056	<0,055
16	<0,8*	<2,16	<0,003	<0,006	0,3 - 2,0	N: 53° 53' 58,7" E: 22° 28' 30,3"	otoczenie stacji nadawczej - ok. 250 m od obiektu wzdłuż gł. osi promieniowania - GKP	<0,056	<0,055
17	<0,8*	<2,16	<0,003	<0,006	0,3 - 2,0	N: 53° 53' 58,3" E: 22° 28' 34,1"	otoczenie stacji nadawczej - ok. 300 m od obiektu wzdłuż gł. osi promieniowania - GKP	<0,056	<0,055
18	<0,8*	<2,16	<0,003	<0,006	0,3 - 2,0	N: 53° 53' 57,2" E: 22° 28' 36,1"	otoczenie stacji nadawczej - ok. 350 m od obiektu wzdłuż gł. osi promieniowania - GKP	<0,056	<0,055
19	<0,8*	<2,16	<0,003	<0,006	0,3 - 2,0	N: 53° 53' 57" E: 22° 28' 39,1"	otoczenie stacji nadawczej - ok. 400 m od obiektu wzdłuż gł. osi promieniowania - GKP	<0,056	<0,055
20	<0,8*	<2,16	<0,003	<0,006	0,3 - 2,0	N: 53° 53' 56,1" E: 22° 28' 41,4"	otoczenie stacji nadawczej - ok. 450 m od obiektu wzdłuż gł. osi promieniowania - GKP	<0,056	<0,055
21	1,2	3,24	0,003	0,009	1,9	N: 53° 53' 55,3" E: 22° 28' 43,7"	otoczenie stacji nadawczej - ok. 500 m od obiektu wzdłuż gł. osi promieniowania - GKP	0,083	0,082
22	1,2	3,24	0,003	0,009	1,8	N: 53° 53' 54,4" E: 22° 28' 46"	otoczenie stacji nadawczej - ok. 550 m od obiektu wzdłuż gł. osi promieniowania - GKP	0,083	0,082
23	<0,8*	<2,16	<0,003	<0,006	0,3 - 2,0	N: 53° 54' 3,3" E: 22° 28' 18,2"	otoczenie stacji nadawczej - ok. 50 m od obiektu wzdłuż gł. osi promieniowania - GKP	<0,056	<0,055
24	<0,8*	<2,16	<0,003	<0,006	0,3 - 2,0	N: 53° 54' 2,9" E: 22° 28' 15,4"	otoczenie stacji nadawczej - ok. 100 m od obiektu wzdłuż gł. osi promieniowania - GKP	<0,056	<0,055
25	<0,8*	<2,16	<0,003	<0,006	0,3 - 2,0	N: 53° 54' 2,9" E: 22° 28' 12,7"	otoczenie stacji nadawczej - ok. 150 m od obiektu wzdłuż gł. osi promieniowania - GKP	<0,056	<0,055
26	<0,8*	<2,16	<0,003	<0,006	0,3 - 2,0	N: 53° 54' 2,4" E: 22° 28' 10,4"	otoczenie stacji nadawczej - ok. 200 m od obiektu wzdłuż gł. osi promieniowania - GKP	<0,056	<0,055
27	<0,8*	<2,16	<0,003	<0,006	0,3 - 2,0	N: 53° 54' 2,2" E: 22° 28' 8,6"	otoczenie stacji nadawczej - ok. 250 m od obiektu wzdłuż gł. osi promieniowania - GKP	<0,056	<0,055
28	<0,8*	<2,16	<0,003	<0,006	0,3 - 2,0	N: 53° 53' 59,6" E: 22° 28' 6"	otoczenie stacji nadawczej - ok. 300 m od obiektu wzdłuż gł. osi promieniowania - GKP	<0,056	<0,055
29	<0,8*	<2,16	<0,003	<0,006	0,3 - 2,0	N: 53° 53' 58,9" E: 22° 28' 3,6"	otoczenie stacji nadawczej - ok. 350 m od obiektu wzdłuż gł. osi promieniowania - GKP	<0,056	<0,055

„Bez pisemnej zgody Laboratorium niniejsze sprawozdanie nie może być powielane inaczej, jak tylko w całości. Ponadto wyniki dotyczą tylko badanych obiektów przywołanych w niniejszym sprawozdaniu z badań”

30	<0,8*	<2,16	<0,003	<0,006	0,3 - 2,0	N: 53° 53' 58,1" E: 22° 28' 1,1"	otoczenie stacji nadawczej - ok. 400 m od obiektu wzdłuż gł. osi promieniowania - GKP	<0,056	<0,055
31	0,9	2,43	0,002	0,006	1,4	N: 53° 53' 57,4" E: 22° 27' 58,7"	otoczenie stacji nadawczej - ok. 450 m od obiektu wzdłuż gł. osi promieniowania - GKP	0,062	0,062
32	<0,8*	<2,16	<0,003	<0,006	0,3 - 2,0	N: 53° 53' 56,6" E: 22° 27' 56,3"	otoczenie stacji nadawczej - ok. 500 m od obiektu wzdłuż gł. osi promieniowania - GKP	<0,056	<0,055
33	<0,8*	<2,16	<0,003	<0,006	0,3 - 2,0	N: 53° 53' 55,9" E: 22° 27' 53,8"	otoczenie stacji nadawczej - ok. 550 m od obiektu wzdłuż gł. osi promieniowania - GKP	<0,056	<0,055
34	<0,8*	<2,16	<0,003	<0,006	0,3 - 2,0	N: 53° 54' 4,2" E: 22° 28' 17,9"	otoczenie stacji nadawczej - ok. 50 m od obiektu wzdłuż gł. osi promieniowania - GKP	<0,056	<0,055
35	<0,8*	<2,16	<0,003	<0,006	0,3 - 2,0	N: 53° 54' 4,5" E: 22° 28' 15,2"	otoczenie stacji nadawczej - ok. 100 m od obiektu wzdłuż gł. osi promieniowania - GKP	<0,056	<0,055
36	<0,8*	<2,16	<0,003	<0,006	0,3 - 2,0	N: 53° 54' 4,7" E: 22° 28' 12,5"	otoczenie stacji nadawczej - ok. 150 m od obiektu wzdłuż gł. osi promieniowania - GKP	<0,056	<0,055
37	<0,8*	<2,16	<0,003	<0,006	0,3 - 2,0	N: 53° 54' 5,6" E: 22° 28' 20"	otoczenie stacji nadawczej - ok. 50 m od obiektu wzdłuż gł. osi promieniowania - GKP	<0,056	<0,055
38	<0,8*	<2,16	<0,003	<0,006	0,3 - 2,0	N: 53° 54' 7,2" E: 22° 28' 19,3"	otoczenie stacji nadawczej - ok. 100 m od obiektu wzdłuż gł. osi promieniowania - GKP	<0,056	<0,055
39	<0,8*	<2,16	<0,003	<0,006	0,3 - 2,0	N: 53° 54' 8,7" E: 22° 28' 18,6"	otoczenie stacji nadawczej - ok. 150 m od obiektu wzdłuż gł. osi promieniowania - GKP	<0,056	<0,055
40	<0,8*	<2,16	<0,003	<0,006	0,3 - 2,0	N: 53° 54' 8,7" E: 22° 28' 22,8"	otoczenie stacji nadawczej - PKP	<0,056	<0,055
41	<0,8*	<2,16	<0,003	<0,006	0,3 - 2,0	N: 53° 54' 7,1" E: 22° 28' 22,9"	otoczenie stacji nadawczej - PKP	<0,056	<0,055
42	<0,8*	<2,16	<0,003	<0,006	0,3 - 2,0	N: 53° 54' 5" E: 22° 28' 23"	otoczenie stacji nadawczej - PKP	<0,056	<0,055
43	<0,8*	<2,16	<0,003	<0,006	0,3 - 2,0	N: 53° 54' 2,9" E: 22° 28' 25,9"	otoczenie stacji nadawczej - PKP	<0,056	<0,055
44	<0,8*	<2,16	<0,003	<0,006	0,3 - 2,0	N: 53° 54' 2,3" E: 22° 28' 28,8"	otoczenie stacji nadawczej - PKP	<0,056	<0,055
45	<0,8*	<2,16	<0,003	<0,006	0,3 - 2,0	N: 53° 54' 0,5" E: 22° 28' 26,4"	otoczenie stacji nadawczej - PKP	<0,056	<0,055
46	<0,8*	<2,16	<0,003	<0,006	0,3 - 2,0	N: 53° 54' 1,7" E: 22° 28' 23,5"	otoczenie stacji nadawczej - PKP	<0,056	<0,055
47	<0,8*	<2,16	<0,003	<0,006	0,3 - 2,0	N: 53° 54' 2,7" E: 22° 28' 20,4"	otoczenie stacji nadawczej - PKP	<0,056	<0,055
48	<0,8*	<2,16	<0,003	<0,006	0,3 - 2,0	N: 53° 54' 1,6" E: 22° 28' 18"	otoczenie stacji nadawczej - PKP	<0,056	<0,055
A	<0,8*	<2,16	<0,003	<0,006	0,3 - 2,0	-	Babki Gąseckie 14, pomiar przed wejściem - DPP	<0,056	<0,055
B	<0,8*	<2,16	<0,003	<0,006	0,3 - 2,0	-	Babki Gąseckie 13, pomiar przed wejściem, pomieszczenie gospodarcze - DPP	<0,056	<0,055
C	<0,8*	<2,16	<0,003	<0,006	0,3 - 2,0	-	Babki Gąseckie 15, młyn wodny, pomiar przed wejściem - DPP	<0,056	<0,055

wynik pomiaru pole - E [V/m] - maksymalna wartość chwilowa zmierzona w danych pionie pomiarowym

\* poniżej czułości zestawu pomiarowego

GKP – główne kierunki pomiarowe

PKP – pomocnicze kierunki pomiarowe

DPP – dodatkowe punkty pomiarowe

PP – pion pomiarowy

U – niepewność pomiarowa dla współczynnika rozszerzenia k=2

k<sub>E</sub> –poprawka pomiarowa badanej instalacji radiokomunikacyjnej podana przez operatora (k<sub>E</sub>=1,70),

poprawka pomiarowa w przypadku oddziaływania innych instalacji radiokomunikacyjnych na badany obszar (k<sub>E</sub>=2,0)

WME – wartość wskaźnikowa poziomu emisji pól elektromagnetycznych dla miejsc dostępnych dla ludności dla składowej elektrycznej pola

WMH – wartość wskaźnikowa poziomu emisji pól elektromagnetycznych dla miejsc dostępnych dla ludności dla składowej magnetycznej pola

Przyjęto najniższą dopuszczalną wartość składowej elektrycznej pola dla objętego pomiarami zakresu częstotliwości min(MEgr)= 38,8 V/m oraz składowej magnetycznej min(MHgr)= 0,105 A/m.

## 7. Stwierdzenie zgodności

Na podstawie wytycznych podanych w Rozporządzeniu Ministra Zdrowia z dnia 17 grudnia 2019 r. w sprawie dopuszczalnych poziomów pól elektromagnetycznych w środowisku (Dz.U. 2019 poz. 2448) oraz sposobów

„Bez pisemnej zgody Laboratorium niniejsze sprawozdanie nie może być powielane inaczej, jak tylko w całości. Ponadto wyniki dotyczą tylko badanych obiektów przywołanych w niniejszym sprawozdaniu z badań”

sprawdzania dotrzymania tych poziomów zgodnie z Rozporządzeniem Ministra Klimatu z dnia 17 lutego 2020 r. w sprawie sposobów sprawdzania dotrzymania dopuszczalnych poziomów pól elektromagnetycznych w środowisku (Dz.U. 2020 poz. 258) dotyczących źródła wymagań, które muszą być spełnione (załącznik do rozporządzenia Ministra Klimatu z dnia 17 lutego 2020 r. (poz. 258)), w oparciu o zasadę podejmowania decyzji zgodną z pkt 26 załącznika do rozporządzenia Ministra Klimatu z dnia 17 lutego 2020 r. (poz. 258), na podstawie wyników pomiarów pól elektromagnetycznych wykonanych w dniu 09.12.2020r. stwierdzono, iż w miejscach dostępnych dla ludności, dopuszczalne poziomy pól elektromagnetycznych w środowisku, określone w przepisach wydanych na podstawie art. 122 ust. 1 ustawy z dnia 27 kwietnia 2001 r. – Prawo ochrony środowiska, uznaje się za dotrzymane w obszarze pomiarowym, w którym w wyniku zastosowania sposobu sprawdzenia dotrzymania dopuszczalnych poziomów pól elektromagnetycznych w środowisku, udokumentowano, że żadna z wartości wskaźnikowych nie przekracza wartości 1.

## **8. Oświadczenie.**

Wyniki badania odnoszą się wyłącznie do badanego obiektu.

Bez pisemnej zgody sprawozdanie nie może być powielane inaczej, jak tylko w całości.

Uwagi i zastrzeżenia przyjmowane są w formie pisemnej w ciągu 14 dni od daty otrzymania sprawozdania.

## **9. Spis załączników.**

Zał. 1. Lokalizacja obiektu.

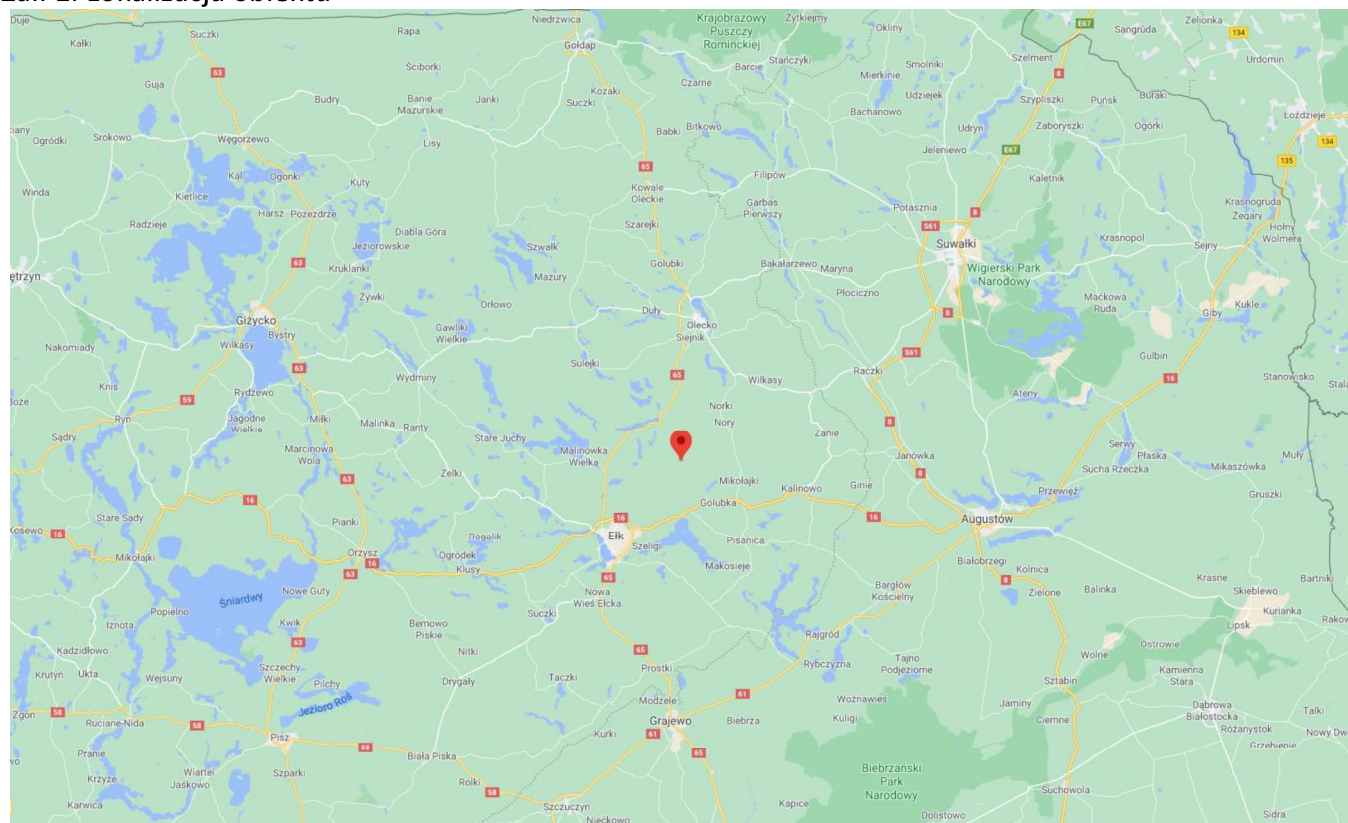
Zał. 2. Widok pionów pomiarowych

Zał. 3. Załączniki graficzne.

**Koniec sprawozdania**



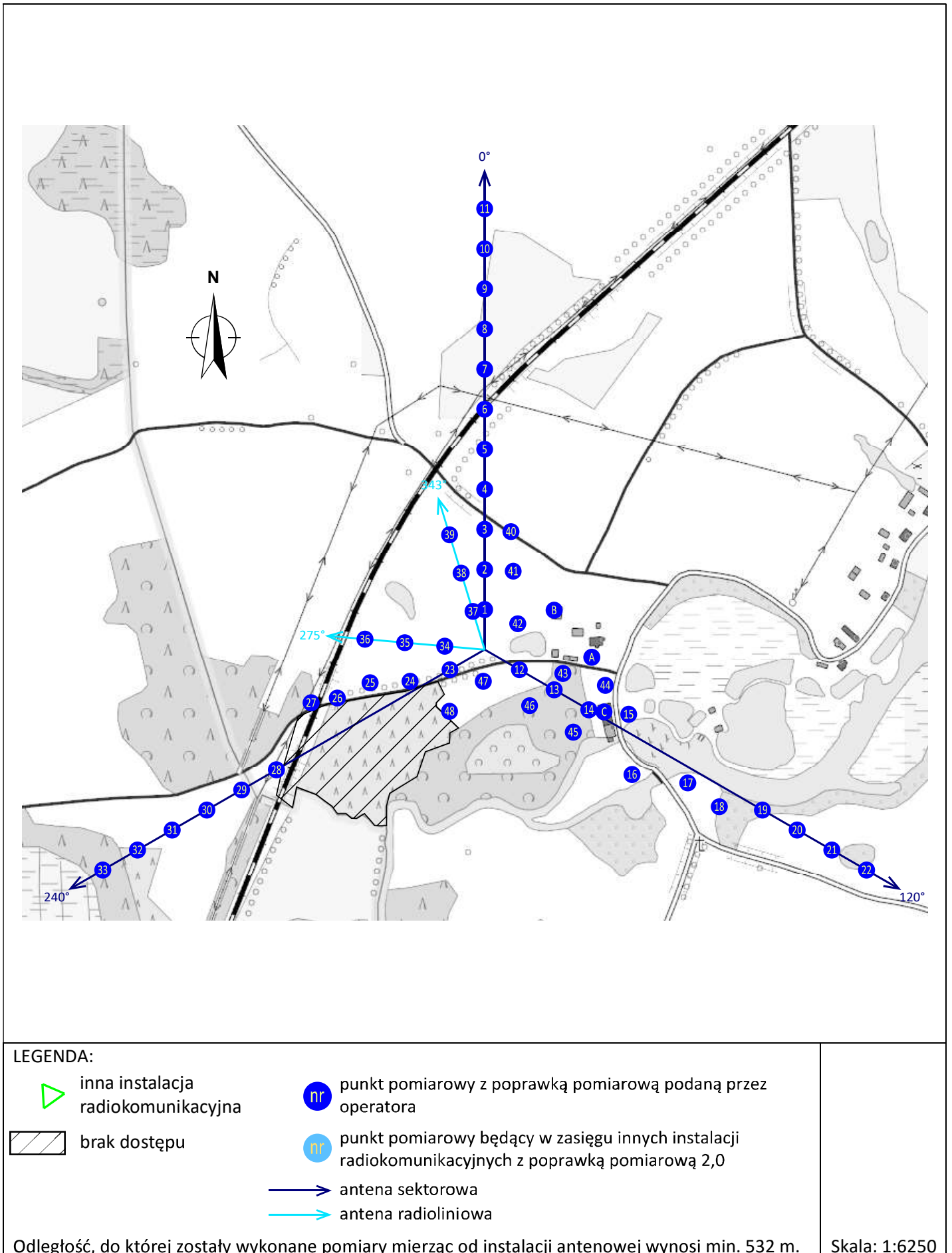
## Zał. 1. Lokalizacja obiektu



województwo: warmińsko-mazurskie

Współrzędne geograficzne	
długość:	E: 22° 28' 20,78"
szerokość:	N: 53° 54' 4,28"

## Załącznik 2. Widok pionów pomiarowych



Załącznik 3. Załączniki graficzne.



S